

が、ケーブル定着部付近のピーク値については実験値とほぼ一致している。しかしながら実験値は表裏面の平均値であるので板の局部変形の影響、さらに端支点の拘束度の影響が含まれており、直ちに実験の応力分布は推定出来ない。

3.2 ウェブプレート応力

本橋のケーブル定着部の応力拡散の解析は補剛リブのみで軸力を受けもつとする剪断パネル理論に対し、板の断面積部分も分担することを考慮した改良剪断パネル理論によっているが、図-4(a)はこれにより主応力を求めたものである。さらにケーブルアンカービーム付近の応力測定分布を図-4(b)に示すが、これによればザイルアンカービームの上下フランジにおける上下端部で $300 \sim 400 \text{ kg/cm}^2$ 程度の面外曲げ応力が生じている。この結果、実験のケーブル力 442.8 に対して $660 \sim 880 \text{ kg/cm}^2$ 程度の面外曲げ応力を生じていることがわかった。また荷重載荷点近い横シヤイバ付近にも約 $1,000 \text{ kg/cm}^2$ の引張応力が認められるが、図-4(a)改良剪断パネル理論による腹板主応力

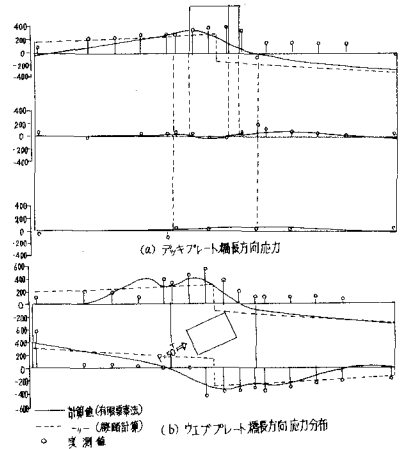


図-3. 橋長方向応力分布

この結果、実験のケーブル力 442.8 に対して $660 \sim 880 \text{ kg/cm}^2$ 程度の面外曲げ応力を生じていることがわかった。また荷重載荷点近い横シヤイバ付近にも約 $1,000 \text{ kg/cm}^2$ の引張応力が認められるが、

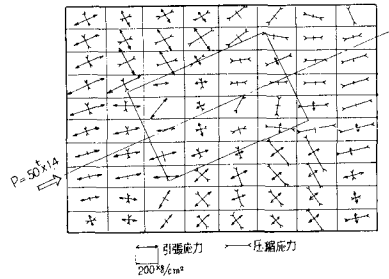


図-4(a) 改良剪断パネル理論による腹板主応力

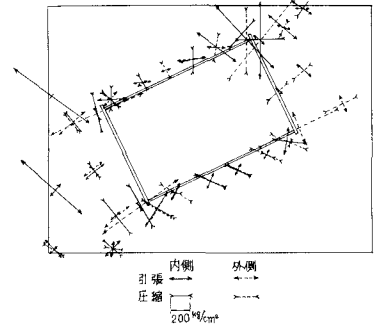


図-4(b) 腹板の主応力実験値

これはウェブの面外変形をこの位置で拘束しているために認められるものである。さらに図示していないが縦シヤイバ応力はウェブに比較して応力の絶対値ならびに面外曲げの影響(50 kg/cm^2)も小さい。横シヤイバはケーブル力の鉛直分布も分担するがウェブ及び縦シヤイバの面外変形に対する拘束作用をする。

3.3 ザイルアンカービームの有効巾

ザイルアンカービームの長さ方向に沿った上下フランジの有効分布とこれを考慮した応力分布を示すが、有効巾がウェブプレート位置で30%減り応力が増大する。図-5の応力分布はH. Schadeの方法により有効巾を求めたものであり計算値とほぼ一致している。

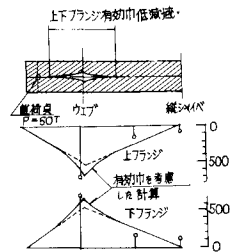


図-5 ザイルアンカービームの有効巾

4. あとがき

(1) 「有限要素法による解析プログラム」による計算値は実験値とほぼ一致する。改良剪断パネル理論によった場合、応力の流れは類似するが応力の絶対値は小さくなる。

(2) 実験ではザイルアンカービームの延長線上にリブを設けて横シヤイバへの応力伝達をよくしている他、実験では補強リブ、縦リブを省略しているので実験で局部応力は緩和されているものと考

えられる。【参考文献】「斜張橋の斜桁の取付部応力拡散について」能町他、土木学会北海道支部 研究発表論文集 1971.3